

1060

$\frac{3}{193}$



ОБЪЕДИНЕННЫЙ ИНСТИТУТ ЯДЕРНЫХ ИССЛЕДОВАНИЙ

Лаборатория теоретической физики

---

Лю И-чень, И.Т. Тодоров

P-1060

ИНТЕГРАЛЬНОЕ ПРЕДСТАВЛЕНИЕ  
ВЕРШИННОЙ ЧАСТИ  
В ТЕОРИИ ВОЗМУЩЕНИЙ

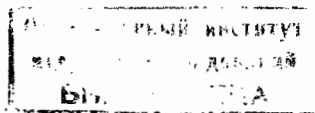
*Дж ССР, 1963, т. 148, № 4, с. 806-809.*

Лю И-чень, И.Т.Тодоров

P-1060

ИНТЕГРАЛЬНОЕ ПРЕДСТАВЛЕНИЕ  
ВЕРШИННОЙ ЧАСТИ  
В ТЕОРИИ ВОЗМУЩЕНИЙ

1610/2 38.



Дубна 1962 год

1. В работах<sup>/1,2/</sup> было показано, что диаграмма  $D$ , изображенная на рис. 1, мажорирует все сильно связанные диаграммы нуклонно-фотонной вершинной части<sup>x)</sup> (штрихованные

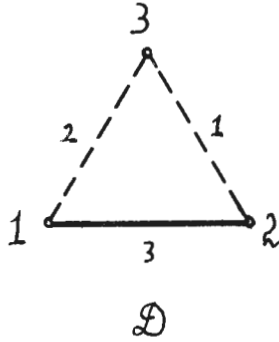


Рис. 1.

линии на рис. 1 -  $\pi$ -мезонные (с массой  $m$ ), сплошная линия - нуклонная (с массой  $M$ ), все узлы - внешние). Это означает, что в пространстве евклидовых внешних импульсов, в области  $G_E$ , в которой квадратичная форма диаграммы  $D$  меньше нуля

$$Q_D(\alpha, p^2) = \frac{\alpha_2 \alpha_3 p_1^2 + \alpha_1 \alpha_3 p_2^2 + \alpha_1 \alpha_2 p_3^2}{\alpha_1 + \alpha_2 + \alpha_3} - (\alpha_1 + \alpha_2) m^2 - \alpha_3 M^2 \quad (1)$$

при всех  $\alpha_\nu \geq 0$  не равных одновременно нулю, отрицательна и квадратичная форма  $Q$  любой сильно связанной диаграммы вершинной части.

Этот результат будет использован в настоящей заметке для двух целей: 1) для нахождения некоторой области в пространстве трех комплексных переменных

$$z_1 = p_1^2, \quad z_2 = p_2^2, \quad z_3 = p_3^2, \quad (2)$$

в которой аналитичен вклад любой сильно связанной диаграммы вершинной части: 2) для вывода интегрального представления для произвольной диаграммы, которое полностью отображает установленные аналитические свойства вершинной части<sup>xx)</sup>. Из этих результатов следует спектральное представление вершинной части по двум переменным (типа предложенного в<sup>/3/</sup>), так же как и обычные одномерные дисперсионные соотношения в любом порядке теории возмущений.

x) Как обычно, рассматривается класс диаграмм, внутренние линии которых соответствуют сильно взаимодействующим частицам. Электромагнитное взаимодействие учтено лишь в первом порядке теории возмущений (узел 3 - единственный электромагнитный узел диаграммы  $D$ ). Всюду в дальнейшем речь будет идти о сильно связанных диаграммах, которые не распадаются на две части после разрыва любой одной внутренней линии.

xx) Представление такого типа было предложено Наканиши<sup>/4/</sup>.

В п. 4 приводится интегральное представление амплитуды рассеяния нуклона на нуклоне, вывод которого аналогичен выводу представления вершинной части (1).

2. Доказательство аналитичности вершинной части в комплексной области  $\tilde{G}$  проведем в три этапа. Сначала определим евклидову область  $G_E$ , в которой отрицательна форма  $Q(a, z)$  любой диаграммы вершинной части, затем найдем область  $G \supset G_E$ , состоящую из всех вещественных  $z$  /2/, для которых  $Q(a, z) < 0$ , и наконец, определим комплексную окрестность  $\tilde{G}$  области  $G$ , в которой аналитичен вклад произвольной диаграммы.

Евклидова область  $E$  в пространстве  $(z_1, z_2, z_3)$  состоит из вещественных точек  $z$ , удовлетворяющих неравенствам

$$E: z_i \geq 0, \quad z_1^2 + z_2^2 + z_3^2 \leq 2(z_1 z_2 + z_1 z_3 + z_2 z_3), \quad (3)$$

(при выполнении неравенства (3), линейная оболочка векторов  $p$ , связанных с  $z$  посредством (2), является евклидовым пространством). В области  $E$ , согласно сформулированному выше результату работ /1,2/ достаточно исследовать диаграмму третьего порядка  $D$ . Эта диаграмма хорошо изучена /5/. Область  $G_D$ , в которой форма (1) отрицательна, проще всего записывается в переменных  $\zeta$  (чтобы сохранить симметрию записи мы обозначаем массу линии  $\nu$  диаграммы  $D$  через  $m_\nu$ ; в рассматриваемом случае  $m_1 = m_2 = m$ ,  $m_3 = M$ ):

$$\zeta_1 = \frac{m_2^2 + m_3^2 - z_1}{2m_2 m_3}, \quad \zeta_2 = \frac{m_1^2 + m_3^2 - z_2}{2m_1 m_3}, \quad \zeta_3 = \frac{m_1^2 + m_2^2 - z_3}{2m_1 m_2}, \quad (4)$$

в переменных  $\zeta$  область  $G_D$  задается неравенствами /5/

$$G_D: \quad \zeta_i > -1 \quad (z_i < (m_j + m_k)^2), \quad i=1,2,3, \\ \zeta_i + \zeta_j < 0, \quad \zeta_k > \zeta_i \zeta_j - \sqrt{(1-\zeta_i^2)(1-\zeta_j^2)}, \quad (5)$$

где  $(i, j, k)$  — любая перестановка чисел /1,2,3/.

Евклидова область аналитичности определяется равенством  $G_E = G_D \cap E$ . Для дальнейшего существенно, что (как нетрудно проверить) граница области  $G_E$  содержит весь "криволинейный" участок границы области  $G_D$ , т.е. ту часть поверхности

$$\zeta_1^2 + \zeta_2^2 + \zeta_3^2 - 2\zeta_1 \zeta_2 \zeta_3 = 1, \quad (6)$$

которая задается параметрическими уравнениями

$$\zeta_\ell = \cos \theta_\ell, \quad \ell = 1,2,3, \quad \theta_k = \theta_i + \theta_j, \quad \theta_i + \theta_j > \pi \quad (0 < \theta_\ell < \pi). \quad (7)$$

Чтобы найти максимальную вещественную область аналитичности  $G$ , заметим, что квадратичная форма  $Q$  любой диаграммы вершинной части может быть записана в виде

$$Q(a, z) = A_1(a) z_1 + A_2(a) z_2 + A_3(a) z_3 - \sum_{\nu=1}^{\rho} \alpha_\nu m_\nu, \quad (8)$$

где  $A_i(a) > 0$  — однородные функции первой степени относительно  $a$  (см., например, /4/

§ 6, 1У). Из неотрицательности коэффициентов  $A_i(\alpha)$  следует, что если  $Q(\alpha, z^0) < 0$  для некоторого  $z^0$ , то  $Q(\alpha, z) < 0$  для всех  $z \geq z^0$  (т.е.  $z_i \leq z_i^0, i = 1, 2, 3$ ). Таким образом мы убеждаемся, что область  $G = G_D$ .

Наконец, комплексную область аналитичности  $\tilde{G} \supset G$  можно найти при помощи приема, использованного Ву<sup>16/</sup> при исследовании амплитуды рассеяния скалярных частиц с одинаковой массой. Из линейности формы  $Q/8$  относительно  $z$  следует, что  $Q(\alpha, z) \neq 0$  (при всех неотрицательных  $\alpha$ , не равных одновременно нулю) в комплексной точке  $z = x + iy = (x_1 + iy_1, x_2 + iy_2, x_3 + iy_3)$ , если существует такое вещественное число  $\lambda$  что точка  $x + \lambda y \in G$ . Мы определим  $G$  как множество комплексных векторов  $z$  для которых существует  $\lambda$  с перечисленными свойствами<sup>х)</sup>.

3. Пусть каждой линии диаграммы соответствует скалярная функция распространения<sup>xx)</sup>  $(k_\nu^2 - m_\nu^2 + i0)^{-1}$  и пусть  $2n > l + 2$ , где  $l$  - число внутренних линий,  $n$  - число узлов диаграммы. Вклад от любой сильно связанной диаграммы вершинной части такого типа пропорционален функции (см. <sup>14/7/</sup>)

$$F(z) = \int_0^1 \dots \int_0^1 D^{-2}(a) \frac{\delta(1 - \sum_{\nu=1}^l a_\nu) \prod_{\nu=1}^l da_\nu}{[Q(\alpha, z) + i0]^{2n-l-2}}, \quad (9)$$

где  $D(a)$  - однородная функция степени  $l - n + 1$  от  $a$ , положительная при  $a_\nu > 0$ , а  $Q$  дается выражением типа (8). Из (9) заменой переменных<sup>14/</sup>

$$\eta_i = [A_1(a) + A_2(a) + A_3(a)]^{-1} A_i(a), \quad i = 1, 2, 3, \quad \rho = \left[ \sum_{i=1}^3 A_i(a) \right]^{-1} \sum_{\nu=1}^l a_\nu m_\nu^2, \quad (10)$$

и  $2l - n - 3$  кратным интегрированием по частям по  $\rho$  получаем следующее интегральное представление для любой сильно связанной диаграммы вершинной части:

$$F(z) = \int_0^1 \int_0^1 \int_0^1 d\eta_1 d\eta_2 d\eta_3 \int_0^\infty \frac{d\rho}{\rho(\eta)} \frac{f(\eta, \rho)}{\eta z - \rho + i0} \delta(1 - \eta_1 - \eta_2 - \eta_3), \quad (11)$$

где

$$\rho_0(\eta) = \max_{z \in G} \eta z, \quad \eta z = \eta_1 z_1 + \eta_2 z_2 + \eta_3 z_3, \quad (12)$$

а  $f(\eta, \rho)$  - некоторая обобщенная функция (интеграл (11) следует понимать как предел (при  $\epsilon \rightarrow +0$ ) интегралов по всему пространству переменных  $\eta$  и  $\rho$  от той же

х) Если изображать комплексные векторы  $z = x + iy$  как приложенные векторы в трехмерном вещественном пространстве с началом в точке  $x$  и с концом в точке  $x + y$  и каждому такому вектору поставить в соответствие прямую проходящую через него, то область  $G$  может быть охарактеризована геометрически как множество векторов, которым соответствуют прямые пересекающие  $G$  (Ж.Брос - частное сообщение).

xx) Все рассуждения и результаты этого пункта легко обобщаются на случай, когда некоторые линии диаграммы соответствуют спинорным или векторным частицам. Один из возможных приемов подобного обобщения описан в <sup>14/</sup> (§ 3 и § 4).

подынтегральной функции, умноженной на бесконечно гладкую функцию  $\phi_\epsilon(\eta, \rho)$ , равную 1 в области интегрирования (11) и исчезающую вне  $\epsilon$ -окрестности этой области). Максимум (12) можно вычислить в явном виде, если заметить, что он достигается на части границы области  $\tilde{G}_E$ , задаваемой параметрическими уравнениями (7). Он равен

$$\rho_0(\eta) = \Phi(\eta) \sum_{i=1}^3 \frac{m_i^2}{\eta_i} \equiv \rho(\eta), \quad \text{если } \left| \frac{m_1}{\eta_1} - \frac{m_2}{\eta_2} \right| < \frac{m_3}{\eta_3} < \frac{m_1}{\eta_1} + \frac{m_2}{\eta_2}, \quad (13a)$$

$$\rho_0(\eta) = \eta_1(m_2 + m_3)^2 + \eta_2(m_1 + m_3)^2 + \eta_3(m_1 - m_2)^2, \quad \text{если } \frac{m_3}{\eta_3} > \frac{m_1}{\eta_1} + \frac{m_2}{\eta_2}, \quad (13б)$$

$$\rho_0(\eta) = \eta_1(m_2 + m_3)^2 + \eta_2(m_1 - m_3)^2 + \eta_3(m_1 + m_2)^2 \quad \text{если } \frac{m_2}{\eta_2} > \frac{m_1}{\eta_1} + \frac{m_3}{\eta_3}, \quad (13в)$$

$$\rho_0(\eta) = \eta_1(m_2 - m_3)^2 + \eta_2(m_1 + m_3)^2 + \eta_3(m_1 + m_2)^2, \quad \text{если } \frac{m_1}{\eta_1} > \frac{m_2}{\eta_2} + \frac{m_3}{\eta_3} \quad (13г)$$

здесь (как и в п.2)  $m_1 = m_2 = m$ ,  $m_3 = M$ , а функция  $\Phi(\eta)$  равна

$$\Phi(\eta) = \eta_1 \eta_2 + \eta_1 \eta_3 + \eta_2 \eta_3. \quad (14)$$

В частном случае диаграммы  $D$  (рис. 1) нетрудно найти явный вид весовой функции  $f(\eta, \rho)$  в представлении (11):  $f_D(\eta, \rho) = \Phi^{-1}(\eta) \delta(\rho - \rho(\eta)) / \rho(\eta)$  задано формулой (13а)).

Представление (11), с учетом (13), является некоторым уточнением представления, найденного Наканиши<sup>/4/</sup> (в<sup>/4/</sup> не определяется точное значение  $\rho_0(\eta)$ ). Ядро этого представления  $(\eta z - \rho)^{-1}$  дает пример трехпараметрического семейства функций, аналитических в  $\tilde{G}$  с параметрами  $\rho$  и  $\eta$  из области интегрирования в (11), такое, что для каждой точки границы  $\partial \tilde{G}$  области  $\tilde{G}$  можно найти некоторую функцию этого семейства, имеющую особенность в этой точке<sup>х)</sup>. Отсюда, в частности, следует, что область  $\tilde{G}$  является естественной областью голоморфности в пространстве трех комплексных переменных (2).

Из представления (11), заменой переменных

$$\eta_1 = \lambda \xi, \quad \eta_2 = \lambda(1 - \xi), \quad \rho = \lambda \gamma + (1 - \lambda) z_3, \quad (15)$$

и интегрированием по  $\lambda$  и  $\eta_3$  получаем интегральное представление вершинной части как функции двух переменных  $z_1$  и  $z_2$  (при фиксированном  $z_3$ ), выведенного Дезером и др.<sup>/3/</sup> на основе некорректного представления Дайсона для двойного коммутатора (см. также<sup>/4/</sup>).

Обычные одномерные дисперсионные соотношения могут быть получены как из интегрального представления (11), так и (проще) непосредственно, применением теоремы Коши, исходя из области аналитичности  $\tilde{G}$ , полученной в п.2.

<sup>х)</sup> Если  $z = x + iy \in \partial \tilde{G}$  и  $y \neq 0$ , то необходимо выбрать  $\eta$  так, чтобы  $\eta y = 0$  и  $\eta x = \rho(\eta)$ .

4. Исходя из результатов по мажорированию диаграмм рассеяния<sup>/8/</sup>, можно вывести, аналогично п.3, интегральные представления для амплитуд рассеяния. Мы приведем результат такого исследования для случая рассеяния нуклона на нуклоне. В этом случае область  $G_{NN}$  в которой  $Q < 0$  для всех сильно связанных диаграмм этого процесса, есть треугольник

$$s = (p_1 + p_2)^2 < 4M^2, \quad t = (p_1 + p_3)^2 < 4m^2, \quad u = (p_2 + p_3)^2 < 4m^2, \quad (16)$$

на плоскости  $s + t + u = 2(M^2 + m^2)$  (мы считаем все внешние линии входящими). Вклад от сильно связанных диаграмм в амплитуду рассеяния нуклона на нуклоне может быть представлен в виде<sup>x)</sup>

$$T(s, t) = \int_0^1 da \left\{ \int_{4m^2}^{\infty} d\rho \frac{f_1(a, \rho)}{at + (1-a)u - \rho} + \int_0^{\infty} d\rho \left[ \frac{f_2(a, \rho)}{as + (1-a)u - \rho} + \frac{f_3(a, \rho)}{as + (1-a)t - \rho} \right] \right\} \quad (17)$$

где

$$\rho_0(a) = 4[M^2 a + m^2(1-a)]. \quad (18)$$

Для получения (17) необходимо разбить область интегрирования по  $a$  в интеграле Фейнмана на части, в каждой из которых среди трех (зависимых) переменных  $s$ ,  $t$  и  $u$  найдется такая пара, что коэффициенты перед этими переменными в форме  $Q(a, \rho)$  неотрицательны в данной части области интегрирования<sup>xx)</sup>.

В заключение авторы выражают глубокую благодарность А.А.Логуну за полезное обсуждение настоящей работы.

#### Л и т е р а т у р а

1. А.А.Логун, А.Н.Тавхелидзе, И.Т.Тодоров и Н.А.Черников. ДАН СССР, 135, 801 (1960).
2. А.А.Логун, И.Т.Тодоров, Н.А.Черников. Вопросы теории мажорирования диаграмм Фейнмана. Препринт ОИЯИ Д-578, Дубна 1960.
3. S.Deser, W.Gilbert and E.Sudarshan. *Phys. Rev.* 115, 731 (1959).
4. N.Nakanishi. *Suppl. Prog. Theor. Phys.* N. 18, 1 (1961).
5. R.Karplus, Ch.Sommerfield and E. Wichmann. *Phys. Rev.* 111, 1187 (1958). 114, 376 (1959).
6. T.T.Wu. *Phys. Rev.* 123, 678 (1961).
7. А.А.Логун, И.Т.Тодоров, Н.А.Черников. Поверхность особых точек диаграммы Фейнмана. Препринт ОИЯИ Р-889, Дубна, 1962 г.
8. А.А.Логун, И.Т.Тодоров, Н.А.Черников. ЖЭТФ, 42, 1285 (1962).
9. N.Nakanishi. *Prog. Theor. Phys.* 26, 337 (1961).

x) Впервые представление такого типа было получено (другим путем) Наканиши<sup>/9/</sup>.

xx) Возможность такого разбиения области интегрирования отмечалась Д.Я.Петрина (частное сообщение).